

明神池の海水交換について

○猿山工業高等専門学校 正員 大庭博文
柳井市役所 正員 沢崎博之
山口大学工学部 正員 斎藤 隆

Iはじめに

明神池は、萩市笠山の東麓にあり、「淡水魚と海水魚が混生する池」や「涼風の風穴のある地」として広く有名である。その成因は、笠山と本土の間が沿岸流による土砂の運搬によって埋まり、いわゆる「陸繋砂洲（トロノボ）」が出現することにより、海の一部が堤止められ残ったことによるものである。（図-1）

近年、池水の混濁が進行し、同時に、魚類の異常致死が多発みられるようになり、数度にわたる原因究明の調査と必要な対策が施されてきた。最近では、昭和51年に学術調査を行なわれているが、それから次のような因果関係が明らかとなつた。すなはち、池水の汚濁は、いわゆる赤潮現象が出現したことによるものであり、魚類の異常致死は、新生堆積物の蓄積、潮盆の形態、赤潮現象等の複合作用による硫酸素水塊の発達に起因していることが明らかにされている。

明神池の浄化機構は、大部分が外海との清浄な海水交換によるものであり、当初は、外海との間の岩塊の空隙や、夕和港との間の砂層を通じての浸透流が主となっていた。その後、岩塊空隙の目つまりや池底の堆積物の増大等により、極端な浸透機能の低下をもたらし、その対策として、現海水交換用木路が設置された。しかし、今日に至っては、それも名和港内の混濁により、当初の目的を達することができなくななり、新しい対策が緊急に必要となっている。

以上の事情から、本論文は、池水の海水交換機能の現状を踏まえ、可能な限りの海水交換率向上のための方策のうち、最適と想われる「現木路に管水路を延長する」方法の効果について理論的検討を試みたものである。

II 現木路を管路で延長した場合の理論計算

管路延長は、将来の海域汚濁を考慮し、図-2に示すように防波堤の潮通しまで行なうものとする。

1) 海水交換量

図-3の記号に従い、池内の水位変動を規定する基礎式が次のようになる。

$$\begin{aligned} A \frac{dR_2}{dt} &= B_* \sqrt{2g(R_1 - R_2)} && \text{for } R_1 \geq R_2 \\ A \frac{dR_2}{dt} &= -B_* \sqrt{2g(R_2 - R_1)} && \text{for } R_1 \leq R_2 \end{aligned} \quad \left. \right\} \quad (1)$$

$$B_* = bd / \left\{ \left(1 + \frac{12.15 n_*^2}{D^2} \cdot \frac{L_p}{R} \right) \frac{4bd}{\pi D} + \left(1 + \frac{19.6 n_*^2}{R^{10}} \cdot \frac{L_c}{R} \right)^{\frac{1}{2}} \right\}$$

また、外海、池内の水位変動 H_1 、 H_2 、単位時間当りの入退潮量 b 、および海水交換率 E は次式で与えられる。

$$H_1 = H_1 \cos\left(\frac{2\pi t}{T}\right) \quad (2), \quad R_2 = \lambda_* H_1 \cos\left(\frac{2\pi t}{T} - \mu\right) \quad (3)$$

$$g = -A \lambda_* H_1 \frac{2\pi}{T} \sin\left(\frac{2\pi t}{T} - \mu\right) \quad (4), \quad E = \frac{2\lambda_* H_1}{R} \quad (5)$$

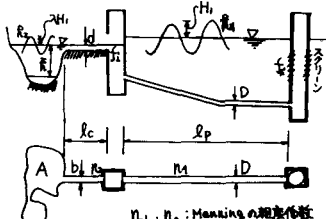
$$\lambda_* = \left\{ \left(\sqrt{1 + \beta_{**}} - 1 \right) / \alpha_{**} \right\}^{\frac{1}{2}}, \quad \mu = \cos^{-1} \lambda_*, \quad \beta_{**} = \frac{\pi^2}{16} \left(\frac{\alpha}{\beta_*} \right)^4, \quad \alpha = \frac{2\pi H_1}{T \sqrt{g}} \quad (6)$$



図-1 明神池位置図



図-2 海水交換木路設置図



n_1, n_2 : Manning の粗度係数
 $R = bd / (b + 2d)$: 水深
A: 明神池の断面積

図-3 海水交換モデル

2) 池内における混濁物濃度の変化

池内における生物的・化学的および水流による堆積物の巻きあげ事による混濁物濃度変化を無視すると、池内混濁物濃度を規定する基礎方程式は、混濁物の連続の式に運動方程式を代入して次式のように求まる。

$$A \frac{d}{dt} \left\{ C(R_1 + R_2) \right\} = C_* B_n \sqrt{2g(R_1 - R_2)} \quad \begin{cases} \text{for } R_1 \geq R_2 \\ \text{for } R_1 \leq R_2 \end{cases} \quad \dots \dots (1)$$

$C = \text{const.}$

ここで、 C_* は外海の混濁物濃度である。 (1), (2) 式を上式に代入し、積分すると潮汐後の池内混濁物濃度 C_n は次式となる。

$$\frac{C_n}{C_0} = \frac{n}{n!} \left(\frac{R + \lambda_* H_1}{R - \lambda_* H_1} + \frac{C_*}{C_{n-1}} \cdot \frac{2\lambda_* H_1}{R + \lambda_* H_1} \right) \quad \dots \dots (2)$$

上式では、退潮より入潮に変化するときの水路及管路内の海水が池内混濁物濃度に及ぼす影響が完全に無視されているので、以下の修正を必要とする。

水路および管路内の海水容積による池の水位変化流は次式で与えられる。

$$\Delta h = \left(\frac{\pi D^2 l_p + b d l_c}{4} \right) / A \quad \dots \dots (3)$$

式 (4) の入潮量 Δh 、池内水位が潮上昇するまでは池内混濁物濃度は変化しないとして式 (1) を積分すると、潮汐後の池内混濁物濃度を表す式は次のようになる。

$$\frac{C_n}{C_0} = \frac{n}{n!} \left(\frac{R - \lambda_* H_1 + \Delta h}{R + \lambda_* H_1} + \frac{C_*}{C_{n-1}} \cdot \frac{2\lambda_* H_1 - \Delta h}{R + \lambda_* H_1} \right) \quad \dots \dots (4)$$

3) 池内混濁物濃度変化の数値的検討

水路長 $l_c = 85m$ 、管路延長 $l_p = 230m$ とし、管径 $D = 750mm$ と $1000mm$ の二通りに、外海の潮汐振幅 H_1 を $10cm$ (潮位差 $20cm$)、 $30cm$ 、 $50cm$ の三通りに変えて式 (4) を計算した。結果の一節を図-4 に示す。これから、潮汐振幅および池内と外海の混濁物濃度が小ささいほど池内混濁物濃度の低下が小さいことがわかる。

一 潮汐間の濃度変化 C_n を外海と池内の濃度比 C_n/C_0 をパラメ

ーターとして潮汐振幅に対する割合 H_1 の関数として図-5 である。上述の特徴をより一層明確に説明していく。

管径 D による池内混濁物濃度の変化率は、式 (4) が明らかなるように、 $\Delta h = 2\lambda_* H_1$ で $C_n/C_0 = 1$ となり、池内と外海の海水上の交換がなくなってしまうのである。ある管径ごとの交換率の最大値を示すはずである。図-4, 5 にみられるように、本計算範囲内では、管径の増大と池内混濁物濃度変化速度の増大が比例する傾向を示している。最大交換率を与える最適管径を求め、実験的に検証することを今後の課題とした。

Ⅲ. おわりに

夕和港の実測値より、最小潮位差は約 $20cm$ であるが、図-4 のケースでは外海の海水混濁濃度を現池内の 0.1 になると、10 ～ 15 潮汐ごとに混濁濃度変化がみられるところになり、ほぼ全体の傾向が明らかとなったといえる。

上記の方法以外には、新設水路の設置や常時注排水等が考えられるが、相対的に効率の悪い結果を得た。また、本解析過程では、池内の流れや、流れによる堆積物の浮遊量等の効果を無視しているが、これらが場合によっては、大きな影響因子となりうるのかもしれない。今後の詳細な調査、研究と共に理論的実験的検証が必要である。

参考文献：九大応力研究所文庫研究委員会、「夕和港の水位について（その1～3）」、応力研究所報告、1953.

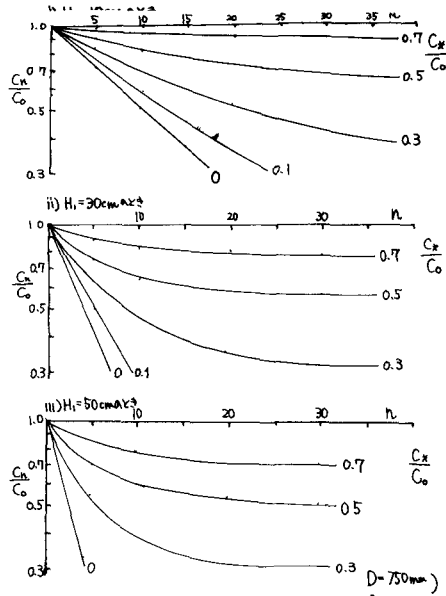


図-4 池内混濁物濃度曲線 ($l_c=85m$, $l_p=230m$)

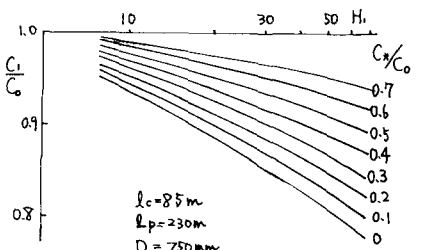


図-5 潮汐当りの混濁物濃度変化曲線